

УДК 532.527, 532.5.013.4, 004.94

© И. С. Мамаев

## МЕТОД ДИСКРЕТНЫХ ВИХРЕЙ В СТАТИСТИЧЕСКОЙ ВИХРЕВОЙ ДИНАМИКЕ КАК ПАРАДИГМА КОМПЬЮТЕРНЫХ МЕТОДОВ АНАЛИЗА

Данная работа посвящена исследованию динамики следующих систем большого числа точечных вихрей на плоскости:

- вихревые кольца с внешним радиусом  $r = 1$  и переменным внутренним радиусом  $r_0$ ,
- вихревые эллипсы с полуосями  $a, b$ .

Основное внимание уделено изучению асимптотического поведения ( $t \rightarrow \infty$ ) систем и проверке критериев устойчивости для непрерывных распределений завихренности с помощью компьютерного эксперимента.

*Ключевые слова:* вихревая динамика, точечный вихрь, гидродинамика, асимптотическое поведение.

### Введение

В работе исследуется динамика большого числа точечных вихрей на плоскости с точки зрения возможности достижения этой системой некоторого равновесного состояния. Подобная точка зрения восходит к заметке Л. Онзагера [1], в которой предполагается, что система  $N$  вихрей при  $N \rightarrow \infty$  достигает некоторого равновесия, при котором отдельные вихри, «фактически подверженные случайному блужданиям, будут оказывать на поток достаточно случайное и неорганизованное влияние». Это, по мнению автора, позволяет применять к описанию системы стандартные методы статистической физики.

В данной работе исследуется численными методами эволюцию плотности распределения  $w_t(x, y)$  большого числа ( $N \sim 10^4$ ) одинаковых точечных вихрей на плоскости и анализируем возможность прихода этой системы к статистическому равновесию. Как показывают результаты численных экспериментов, в этой системе нет универсального (т. е. термодинамического) равновесия, которое бы достигалось из почти всех начальных состояний. Можно высказать следующее предположение

### § 1. Основные уравнения

Уравнения, описывающие эволюцию завихренности идеальной несжимаемой жидкости были получены Гельмгольцем [4]. В случае плоскопараллельных течений в неподвижной декартовой системе координат  $Oxy$  уравнения для завихренности  $\Omega(x, y, t) = \frac{\partial v_x}{\partial y} - \frac{\partial v_y}{\partial x}$  представляются в форме

$$\begin{aligned} \frac{\partial \Omega}{\partial t} + (\mathbf{v} \nabla) \Omega &= 0, & \Delta \psi &= -\Omega, \\ v_x &= \frac{\partial \psi}{\partial y}, & v_y &= -\frac{\partial \psi}{\partial x}. \end{aligned} \tag{1.1}$$

Если к уравнениям добавить начальные условия для завихренности и граничные условия, которые в случае неограниченной плоскости сводятся к требованию

$$|\mathbf{v}| \xrightarrow[|\mathbf{r}| \rightarrow \infty]{} 0, \tag{1.2}$$

то получится замкнутая система, определяющая эволюцию завихренности во времени.

Уравнения (1.1) являются существенно нелинейными, аналитические методы их решения отсутствуют. Поэтому особое значение для их исследования приобретают различные качественные и компьютерные методы.

Как известно, уравнения (1.1) допускают решение в виде суперпозиции точечных вихрей

$$\Omega(\mathbf{r}, t) = \sum_i \Gamma_i \delta(\mathbf{r} - \mathbf{r}_i(t)), \quad \psi(\mathbf{r}, t) = \sum_i \frac{\Gamma_i}{4\pi} \ln |\mathbf{r} - \mathbf{r}_i(t)|^2, \quad \Gamma_i = \text{const}, \quad (1.3)$$

движение которых описывается гамильтоновой системой [5]

$$\Gamma_i \dot{x}_i = \frac{\partial H}{\partial y_i}, \quad \Gamma_i \dot{y}_i = -\frac{\partial H}{\partial x_i}, \quad (1.4)$$

$$H = -\frac{1}{4\pi} \sum_{i < j}^N \Gamma_i \Gamma_j \ln((x_i - x_j)^2 + (y_i - y_j)^2).$$

## § 2. Стационарные решения и их устойчивость

Довольно легко найти некоторые стационарные ( $\frac{\partial \Omega}{\partial t} = 0$ ) решения уравнений (1.1).

**Плоскопараллельное однородное течение.** В декартовой системе координат уравнения (1.1) имеют вид

$$\frac{\partial \psi}{\partial x} \frac{\partial \Omega}{\partial y} - \frac{\partial \psi}{\partial y} \frac{\partial \Omega}{\partial x} = 0, \quad \frac{\partial^2 \psi}{\partial x^2} + \frac{\partial^2 \psi}{\partial y^2} = -\Omega(x, y). \quad (2.1)$$

Легко видеть, что этим уравнениям можно удовлетворить, полагая, что функции  $\psi$  и  $\Omega$  зависят только от одной переменной, например от  $y$ , т. е.  $\frac{\partial \Omega}{\partial x} = 0$ ,  $\frac{\partial \psi}{\partial x} = 0$ . Они описывают однородное по  $x$  течение жидкости с неоднородной по  $y$  завихренностью (в частности, течение между двумя пластинами). Линейная устойчивость этих решений была исследована Рэлем [6]. Им было показано, что любое монотонное распределение ( $\frac{\partial \Omega}{\partial y} > 0$ ) завихренности будет устойчивым. Подробный обзор результатов по этой проблеме содержится, например, в [7].

**Оссесимметричное вихревое течение.** В полярной системе координат уравнения (1.1) принимают вид

$$\begin{aligned} \frac{1}{r} \left( \frac{\partial \psi}{\partial \varphi} \frac{\partial \Omega}{\partial r} - \frac{\partial \psi}{\partial r} \frac{\partial \Omega}{\partial \varphi} \right) &= 0, & \frac{1}{r} \frac{\partial}{\partial r} r \frac{\partial \psi}{\partial r} + \frac{1}{r^2} \frac{\partial^2 \psi}{\partial \varphi^2} &= -\Omega(r, \varphi), \\ v_r &= \frac{1}{r} \frac{\partial \psi}{\partial \varphi}, & v_\varphi &= -\frac{\partial \psi}{\partial r}. \end{aligned} \quad (2.2)$$

Легко видеть, что осесимметричное решение  $\Omega = \Omega_0(r)$ ,  $\psi = \psi_0(r)$  удовлетворяет уравнениям и описывает неоднородное по  $r$  вращение жидкости вокруг центра. При этом величины  $\Omega_0$  и  $\psi_0$  связаны соотношением

$$\frac{1}{r} \frac{\partial}{\partial r} \left( r \frac{\partial \psi_0(r)}{\partial r} \right) = -\Omega_0(r).$$

**Устойчивость вихревых колец.** Для вихревого кольца с внутренним радиусом  $r = r_0$  и внешним  $r = 1$  распределение завихренности является кусочно-постоянным и имеет вид

$$\Omega(r) = \begin{cases} \Omega_1, & 0 < r < r_0, \\ 1, & r_0 \leq r \leq 1, \\ 0, & r > 1. \end{cases} \quad (2.3)$$

В общем случае  $\Omega(r)$  не является монотонной функцией ( $\Omega_1 < 1$ ), поэтому обобщенный критерий Рэлея неприменим. В этом случае функция  $\chi(r) = \frac{1-\Omega_1}{r_0} \delta(r-r_0) - \delta(r-1)$ , где  $\delta(r)$  — дельта-функция Дирака, и

$$\omega_0(r) = \begin{cases} \frac{\Omega_1}{r}, & 0 < r < r_0, \\ \frac{1}{2}(1 + \frac{\Omega_1-1}{r}r_0^2), & r_0 \leq r \leq 1, \\ 0, & r > 1. \end{cases}$$

Будем искать  $\tilde{\psi}_m$  в виде

$$\tilde{\psi}_m(r) = \begin{cases} \Psi_1 = c_1 \left(\frac{r}{r_0}\right)^m, & 0 < r < r_0, \\ \Psi_2 = c_2 r^m + c_3 r^{-m}, & r_0 \leq r \leq 1, \\ \Psi_3 = c_4 r^{-m}, & r > 1. \end{cases} \quad (2.4)$$

Проинтегрируем уравнение вблизи точек  $r = r_0$  и  $r = 1$ , в результате получим два уравнения

$$\begin{aligned} \Psi'_2(r_0) - \Psi'_1(r_0) - \frac{m}{r_0} \frac{1 - \Omega_1}{\varepsilon^{(m)} + m \frac{\Omega_1}{2}} \Psi_1(r_0) &= 0, \\ \Psi'_3(1) - \Psi'_2(1) + \frac{m}{\varepsilon^{(m)} + m \frac{1}{2}(1 + (\Omega_1 - 1)r_0^2)} \Psi_2(1) &= 0. \end{aligned}$$

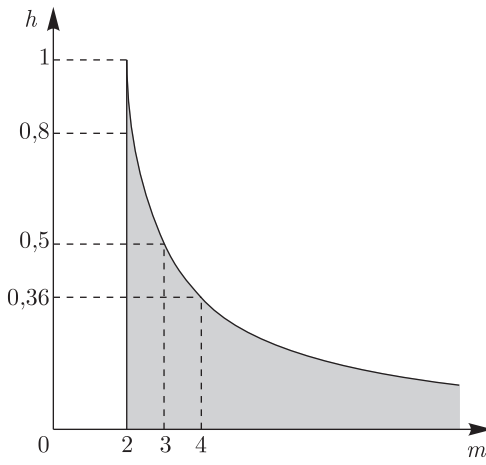
Добавив уравнения непрерывности

$$\Psi_2(r_0) - \Psi_1(r_0) = 0, \quad \Psi_3(1) - \Psi_2(1) = 0,$$

получим систему из четырех уравнений. Подставляя в систему  $\tilde{\psi}_m$  из (2.4) и разрешая ее, получим  $\varepsilon_n^{(m)}$  в виде  $\varepsilon_{n1,2}^{(m)} = \varepsilon_0^{(m)} \pm \sqrt{D}$ . От подкоренного выражения  $D$  зависит поведение функций  $\tilde{\psi}(r, \varphi, t)$ ,  $\tilde{\Omega}(r, \varphi, t)$ . В случае обычного вихревого кольца  $\Omega_1 = 0$  и выражение для  $D$  принимает вид

$$D(r_0, m) = m^2(r_0^2 - 1)^2 + 4m(r_0^2 - 1) - 4r_0^{2m} + 4.$$

Если  $D < 0$ , корни имеют мнимую часть, в результате чего в решении появляется множитель, растущий со временем, что приводит к потере устойчивости решения. На (рис. 1) серым цветом обозначена область неустойчивости вихревого кольца, где  $D$  принимает отрицательные значения.



**Рис. 1.** Область линейной неустойчивости вихревого кольца (отмечена серым цветом),  $h = 1 - r_0$  — толщина кольца.

Как видно из рис. 1, неустойчивость  $m$ -й моды решения наступает, когда внутренний радиус кольца  $r_0$  становится больше определенного значения. При  $m = 2$  величина  $D$  обращается

в нуль при любых значениях  $r_0$ , следовательно, эта мода всегда устойчива в линейном приближении. Заметим, что на границе области величины  $\varepsilon_{n2}^{(m)} = 0$ .

Таким образом, если внутренний радиус кольца  $r_0 \leq 0,5$ , то устойчивыми являются все моды, включая  $m = 2$ , из этого следует

**Теорема 1.** Однородное вихревое кольцо с внешним радиусом  $r = 1$  и внутренним радиусом  $r = r_0$  устойчиво в линейном приближении при значениях  $r_0 \leq 0,5$ .

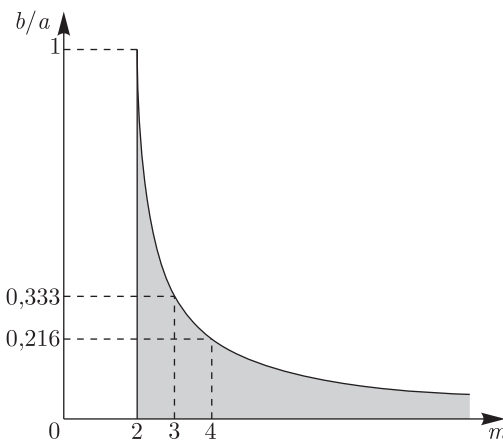
Вопрос об устойчивости в нелинейном приближении остается открытым. Приводимые ниже результаты численного моделирования свидетельствуют, что более правдоподобна

**Гипотеза 1.** Однородное вихревое кольцо всегда неустойчиво (в нелинейном приближении).

**Эллиптический вихрь Кирхгофа [8].** Это еще одно хорошо известное решение уравнений (1.1), которое является стационарным во врачающейся системе координат.

А. Э. Лав [8] исследовал линейную устойчивость вихря Кирхгофа относительно вариации границы и показал, что движение устойчиво для соотношения полуосей эллипса  $\frac{b}{a} \geq \frac{1}{3}$ . Можно показать, что анализ устойчивости движения относительно произвольной вариации завихренности сводится к анализу устойчивости относительно вариации границы.

Интересно отметить, что диаграмма устойчивости  $m$ -й гармоники от отношения  $\frac{b}{a}$  имеет вид, похожий на диаграмму устойчивости вихревого кольца.



**Рис. 2.** Область линейной неустойчивости вихря Кирхгофа (отмечена серым цветом).

Область неустойчивости есть и при  $\frac{b}{a} < \frac{1}{3}$  (рис. 2), но при нецелых  $m$ , равно как и для кольца при  $r_0 < 0,5$ .

**Теорема 2.** Однородный эллиптический вихрь Кирхгофа с полуосами  $a$  и  $b$  устойчив в линейном приближении при соотношении полуосей  $\frac{b}{a} \geq \frac{1}{3}$ .

### § 3. Численные эксперименты в динамике точечных вихрей

**Численные эксперименты** В работе нас интересует эволюция вихревых пятен с равномерной завихренностью внутри. В непрерывной постановке численная реализация этой задачи сложна в силу нелинейности уравнений (1.1). Более простым методом моделирования эволюции вихревых пятен является метод дискретной аппроксимации, когда непрерывное распределение завихренности заменяется большим количеством одинаковых точечных вихрей. Моделирование движения сводится к расчету траекторий движения вихрей. Выполнение численных экспериментов дает нам возможность сравнить их результаты с известными аналитическими критериями устойчивости для некоторых вихревых конфигураций, а также исследовать асимптотическое поведение вихревых пятен на плоскости.

В данной работе был проведен ряд численных экспериментов, моделирующих эволюцию следующих систем большого числа точечных вихрей на плоскости:

1. вихревые кольца с внешним радиусом  $r = 1$  и переменным внутренним радиусом  $r_0$ ,
2. вихревые эллипсы с полуосями  $a, b$ .

Здесь мы приводим лишь некоторые из них, наиболее ярко характеризующие поведение рассматриваемых вихревых конфигураций.

**Эволюция тонких колец ( $r_0 > 0,5$ ).** Тонкие кольца с  $r_0 > 0,5$  являются неустойчивыми конфигурациями в линейном приближении. Численные эксперименты в точности подтверждают теорию, причем количество образующихся при распаде колец пятен зависит от  $r_0$  и совпадает с номером наиболее неустойчивой гармоники. При больших временах асимптотические конфигурации обладают осесимметричным, монотонным по радиусу распределением завихренности (т. е.  $\frac{\partial \Omega}{\partial \varphi} = 0$ ,  $\frac{\partial \Omega}{\partial r} > 0$ ), оно представляет собой крупное центральное пятно, окруженное облаком вихрей меньшей плотности. На рис. 3 приведена характерная эволюция тонких колец во времени.

**Эволюция широких колец ( $r_0 \leq 0,5$ ).** Согласно теореме 1 в линейном приближении такие кольца должны быть устойчивыми. Численные эксперименты показывают, что широкие кольца обнаруживают неустойчивость уже на начальном этапе расчета. На рис. 4 приведен характерный вид эволюции широких колец. Во всех экспериментах наблюдается искажение границ колец, причем внешняя и внутренняя границы приобретают форму многогранников, что соответствует возбуждению мод с номерами, равными количеству граней. Неустойчивость в данном случае, по-видимому, связана с нелинейной неустойчивостью. Этот вопрос требует дополнительного изучения. При больших временах, как правило, асимптотические конфигурации обладают осесимметричным, монотонным по радиусу распределением завихренности.

**Эволюция длинных вихревых эллипсов ( $\frac{b}{a} < \frac{1}{3}$ ).** Согласно критерию устойчивости А. Э. Лава (теорема 2), эллиптические вихри с соотношением полуосей  $\frac{b}{a} < \frac{1}{3}$  неустойчивы в линейном приближении. На начальном этапе моделирования происходит распад эллипсов на несколько пятен с образованием вихревых нитей вокруг них, количество пятен зависит от конкретного соотношения полуосей  $a$  и  $b$ . С течением времени пятна сливаются друг с другом.

Численные эксперименты, проведенные для вихревых эллипсов с соотношениями полуосей  $\frac{b}{a} = 0,1$  и  $\frac{b}{a} = 0,05$  (результаты представлены на рис. 5 и рис. 6), показали, что асимптотические конфигурации для этих двух случаев существенно различаются.

Для эллипса с  $\frac{b}{a} = 0,1$  асимптотическая конфигурация имеет вид крупного пятна в центре со «спутником» (небольшим плотным скоплением вихрей), окруженных облаком вихрей меньшей плотности. Распределение завихренности не осесимметричное и не монотонное по радиусу. Вопрос об устойчивости такой конфигурации пока не изучен.

В случае вихревого эллипса с  $\frac{b}{a} = 0,05$  асимптотическая конфигурация принимает вид одного центрального пятна в облаке вихрей, причем вокруг пятна имеется тонкий кольцевой слой меньшей, чем у остального облака, плотности. Таким образом, распределение завихренности является осесимметричным, но не монотонным по радиусу.

**Эволюция вихревых эллипсов с малым эксцентриситетом ( $\frac{b}{a} \geq \frac{1}{3}$ ).** Вихревые эллипсы с соотношением полуосей  $\frac{b}{a} \geq \frac{1}{3}$  должны быть устойчивыми конфигурациями. Численный эксперимент подтверждает этот критерий: такие эллипсы хорошо сохраняют свою форму при больших временах моделирования. Однако асимптотические конфигурации несколько отличаются от исходных: границы эллипсов приобретают рыхлую структуру, отдельные вихри

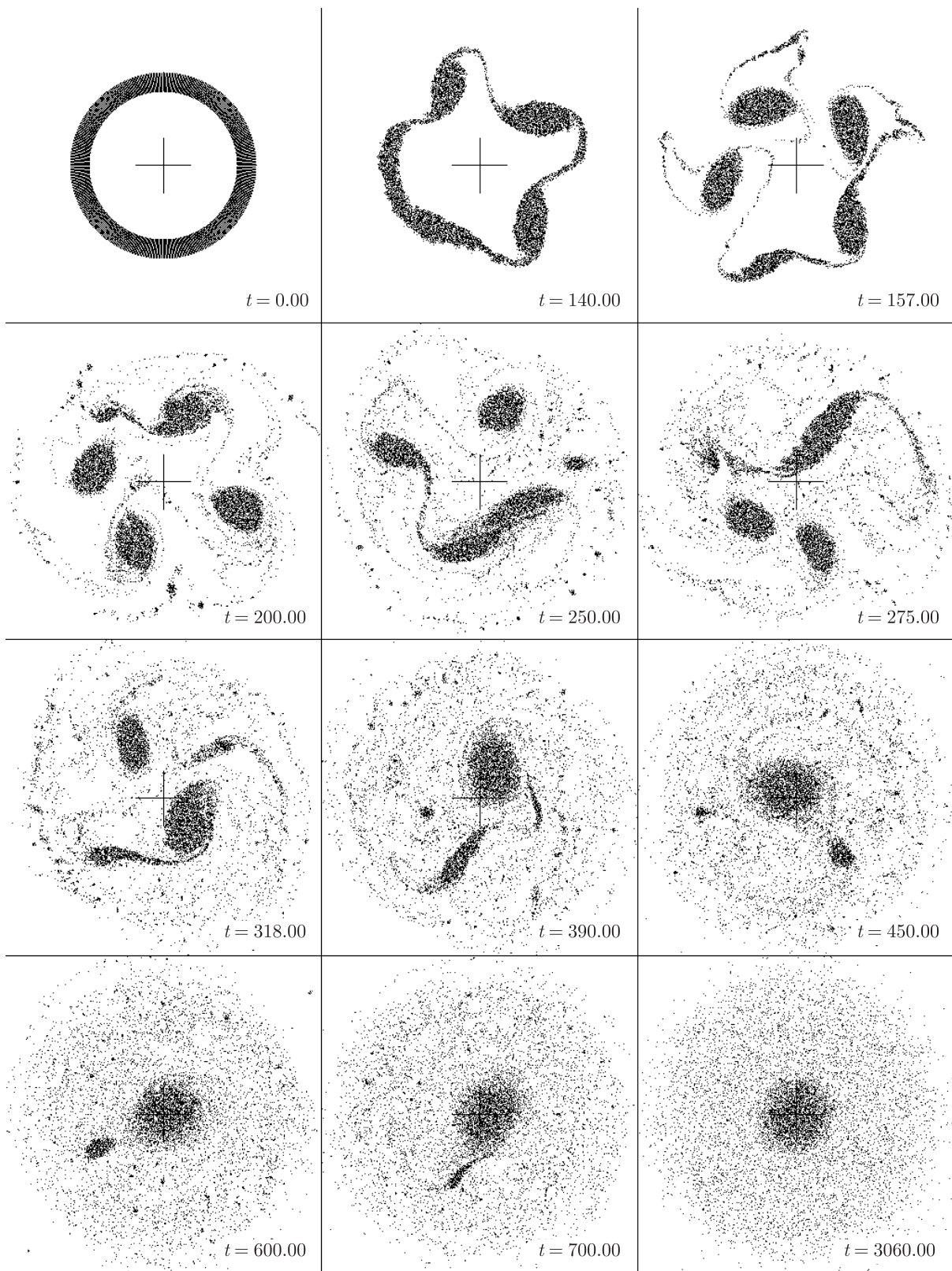
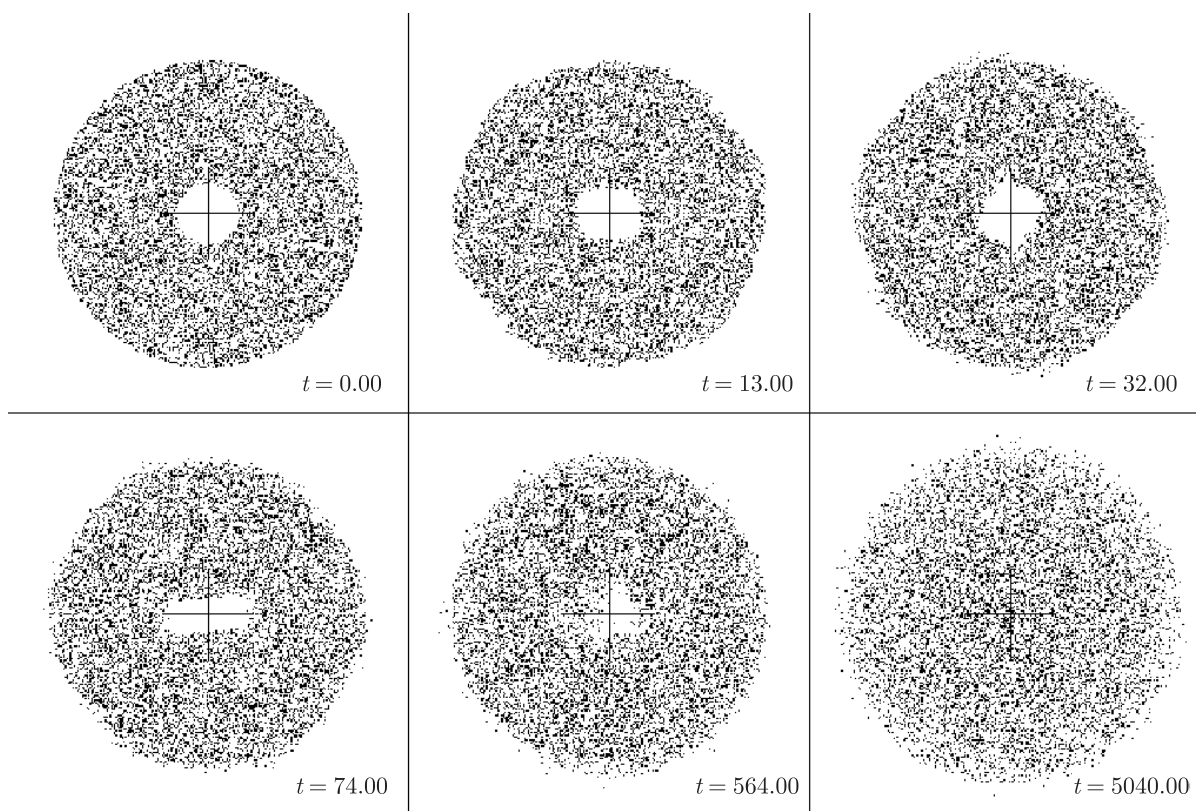


Рис. 3. Характерный вид эволюции тонких вихревых колец ( $N = 10000$ ,  $r_0 = 0,8$ ,  $dt = 0,1$ ).



**Рис. 4.** Характерный вид эволюции широких вихревых колец ( $N = 10000$ ,  $r_0 = 0, 2$ ,  $dt = 0, 1$ ).

находятся на небольшом расстоянии от основного пятна. Причина наблюдаемого диффузионного эффекта может быть связана с дискретизацией непрерывного распределения точечными вихрями или с неустойчивостью эллипсов в нелинейном приближении.

#### § 4. Обсуждение результатов

В заключение отметим ряд задач, которые было бы интересно исследовать как аналитическими, как и численными методами.

1. Исследование нелинейной устойчивости широких вихревых колец и эллипсов с малым эксцентриситетом.
2. Отыскание новых стационарных равномерно вращающихся конфигураций, в том числе с несвязным и с неоднородным распределением завихренности.
3. Исследование асимптотического поведения (т. е. на больших временах) большого числа вихрей с интенсивностями разного знака в ограниченной области (например, в круге, кольце). Имеющиеся в настоящее время результаты (см. работы [9, 10]) относятся к сравнительно малому числу вихрей  $N \sim 10^2$  и не позволяют с уверенностью судить о классификации и статистических свойствах.

Отметим также, что полученные результаты компьютерных экспериментов об асимптотическом поведении вихрей одного знака не подпадают под имеющиеся теоретические описания [1, 2, 13] и требуют дополнительного изучения.

#### СПИСОК ЛИТЕРАТУРЫ

1. Onsager L. Statistical hydrodynamics. // Nuovo Cimento. — 1949. — Vol. 6. — P. 279–287.

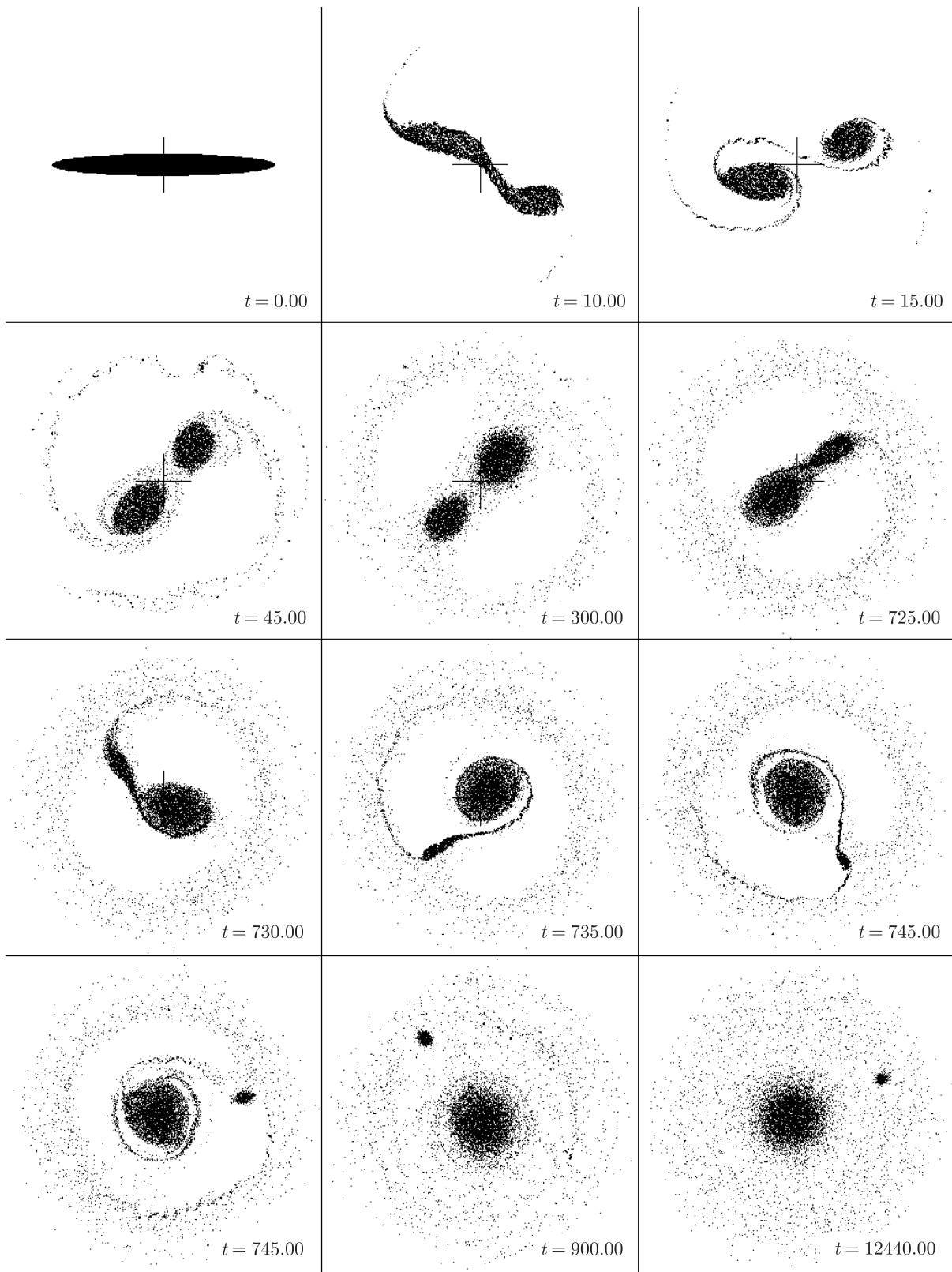


Рис. 5. Эволюция длинного вихревого эллипса ( $N = 10000$ ,  $\frac{b}{a} = 0, 1$ ,  $dt = 0, 1$ ).

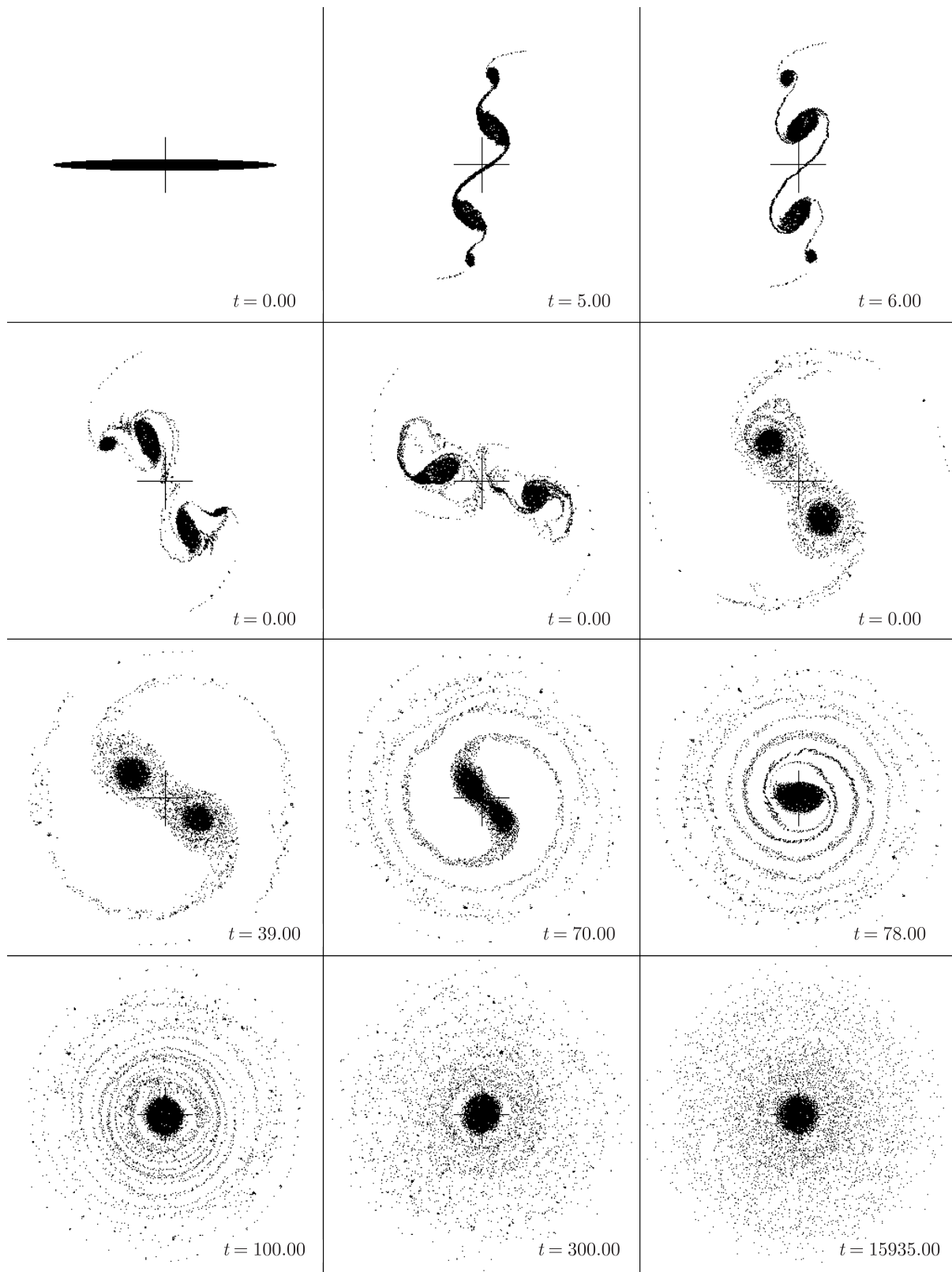


Рис. 6. Эволюция длинного вихревого эллипса ( $N = 10000$ ,  $\frac{b}{a} = 0,05$ ,  $dt = 0,1$ ).

2. Montgomery D., Joyce G. Statistical mechanics of negative temperature states. // Phys. Fluids. — 1974. — Vol. 17, №. 6. — P. 1139–1145.
3. Козлов В. В. Уравнение вихря 2D-гидродинамики, стационарное кинетическое уравнение Власова и развитая турбулентность. // Нелинейная динамика. — 2006. — Т. 2, № 4. — С. 425–434.
4. Helmholtz H. Über Integrale der hydrodynamischen Gleichungen, welche den Wirbelbewegungen entsprechen. // J. Reine Angew. Math. — 1858. — Vol. 55. — P. 25–55.
5. Кирхгоф Г. Механика. Лекции по математической физике. М.: АН СССР. — 1962. [Kirchhoff G. Vorlesungen über mathematische Physik. Leipzig: Mechanik. — 1874.].
6. Стрэтт Дж. В. (lord Рэлей) Теория звука: Т. II. М.: ГИТТЛ. — 1955. — 476 с.
7. Дразин Ф. Введение в теорию гидродинамической устойчивости. М.: Физматлит. — 2005. — 288 с.
8. Love A. E. H. On the stability of certain vortex motions. // Proc. London Math. Soc. — 1894. — Vol. 25. — P. 18–42.
9. Bühler O. Statistical mechanics of strong and weak point vortices in a cylinder. // Phys. Fluids. — 2002. — Vol. 14, №. 7. — P. 2139–2149.
10. Pavlov V., Buisine D., and Goncharov V. Formation of vortex clusters on a sphere. // Nonlinear Proc. Geophys. — 2001. — Vol. 8. — P. 9–19.
11. Yatsuyanagi Yu., Kiwamoto Ya., Tomita H., Sano M. M., Yoshida T., and Ebisuzaki T. Dynamics of two-sign point vortices in positive and negative temperature state. // Phys. Rev. Lett. — 2005. — Vol. 94. — 054502, 4 P.
12. Yoshida T., Sano M. M. Numerical simulation of vortex crystals and merging in  $N$ -point vortex systems with circular boundary. // J. Phys. Soc. Japan. — 2005. — Vol. 74. — P. 587–598.
13. Chavanis P. H., Lemou M. Kinetic theory of point vortices in two dimensions: Analytical results and numerical simulations. // Eur. Phys. J. B. — 2007. — Vol. 59, №. 2. — P. 217–247.
14. Борисов А. В., Мамаев И. С. Математические методы динамики вихревых структур. М.—Ижевск: Инст. компьютерн. исслед., 2005. — 368 с.
15. Weiss J. B., McWilliams J. C. Nonergodicity of point vortices. // Phys. Fluids. — 1991. — Vol. 3, №. 5. — P. 835–844.
16. Kizner Z., Khvole R. The tripole vortex: Experimental evidence and explicit solutions. // Phys. Rev. E. — 2004. — Vol. 70. — 016307, 4 P.
17. Mitchell T. B., Rossi L. F. The evolution of Kirchhoff elliptic vortices. // Phys. Fluids. — 2008. — Vol. 20, №. 5. — 054103, 12 P.

Поступила в редакцию 21.10.09

### *I. S. Mamaev*

### **Method of discrete vortices in statistical vortex dynamics as a paradigm of computer methods of analysis**

With the help of mathematical modelling, we study the dynamics of many point vortices system on the plane. For this system, we consider the following cases:

- vortex rings with outer radius  $r = 1$  and variable inner radius  $r_0$ ,
- vortex ellipses with semiaxes  $a, b$ .

The emphasis is on the analysis of the asymptotic ( $t \rightarrow \infty$ ) behavior of the system and on the verification of the stability criteria for vorticity continuous distributions.

*Keywords:* vortex dynamics, point vortex, hydrodynamics, asymptotic behavior.

Mathematical Subject Classifications: 76E07, 76E09, 76B47, 68U20